

УДК 537.311 : 532.733

© 1990

## ПОДВИЖНОСТЬ НОСИТЕЛЕЙ ЗАРЯДА В НЕМАТИЧЕСКИХ ЖИДКИХ КРИСТАЛЛАХ

Е. Д. Белоцкий, М. А. Бывалькович, Н. И. Гриценко,  
Б. И. Лев, А. В. Рогоза, П. М. Томчук

Исследованы параллельная  $\mu_{\parallel}$  и перпендикулярная  $\mu_{\perp}$  составляющие подвижности носителей заряда в нематических жидкких кристаллах (НЖК) с различными величиной и знаком диэлектрической анизотропии  $\epsilon_a$ . На зависимостях  $\mu_{\parallel}$  и  $\mu_{\perp}$  от  $\epsilon_a$  обнаружены минимумы в окрестности  $\epsilon_a=0$ . В ориентированных НЖК исследована подвижность контролируемых ионов и получено, что эффективный радиус носителя почти на порядок превышает геометрический радиус вводимых ионов. Результаты экспериментов трактуются в терминах эффективной массы ионов и с единных позиций объясняют всю совокупность экспериментальных данных.

Несмотря на появившийся в последнее время интерес к исследованию электропроводности жидкких кристаллов, которая явно или неявно существует при более сложных электрогидродинамических процессах, механизм переноса заряда в мезофазах остается невыясненным. Подвижность носителей заряда в жидкких кристаллах, несущая информацию об этом механизме, экспериментально изучена недостаточно [1-5]. Величина подвижности, определенная экспериментально, существенно ниже значений, полученных из оценки вязкого трения стоксовой сферы молекулярных размеров. Одна из причин расхождения экспериментальных данных с теоретическими оценками, как было указано в монографии [6], связана со взаимодействием иона с анизотропным окружением. Эта идея получила развитие в теоретических работах [7-9], где получены значительное увеличение эффективной массы иона и уменьшение его подвижности вследствие образования деформационной поляризационной шубы, движущейся вместе с ионом. Диэлектрическая анизотропия нематика в таком случае должна влиять на величину подвижности. Экспериментальные исследования в этом направлении для нематических жидкких кристаллов (НЖК) ранее не проводились.

В настоящей работе проведены исследования подвижности носителей заряда в НЖК с различной величиной и знаком диэлектрической анизотропии  $\epsilon_a$ , а также подвижности контролируемых ионов в данных системах. Для исследований использовалась смесь нематиков на основе матрицы ЖК-440 ( $\epsilon_a=-0.3$ ) и сильно полярных мезогенных добавок 4-*n*-пентил-4'-цианобифенила (5ЦБ,  $\epsilon_a=+11$  при 303 К) и 2',3'-дициано-4-аминоксифениловый эфир 4-амилоксибензойной кислоты (ЖК-667,  $\epsilon_a=-25$  при 303 К). Концентрация вводимых добавок выбиралась таким образом, чтобы вязкость НЖК-смеси практически не изменялась. Анизотропия диэлектрической проницаемости при этом изменялась в пределах от -1.56 до +11. В качестве легирующей добавки в НЖК вводилась соль — тетрабутиламмоний бромистый  $(C_4H_9)_4NBr$ . Электропроводность с легированных нематиков изменялась в пределах двух порядков. Значения подвижности носителей заряда и вязкости нематиков практически не зависели от концентрации примеси.

Подвижность носителей заряда измерялась методом обратного поля, который использовался ранее для исследований температурной зависимости подвижности в жидкокристаллах различного типа [3, 5]. Подвижность рассчитывалась по времени пролета носителей заряда между электродами  $\mu = d^2/(U\tau)$ , где  $d$  — толщина слоя жидкого кристалла, равная

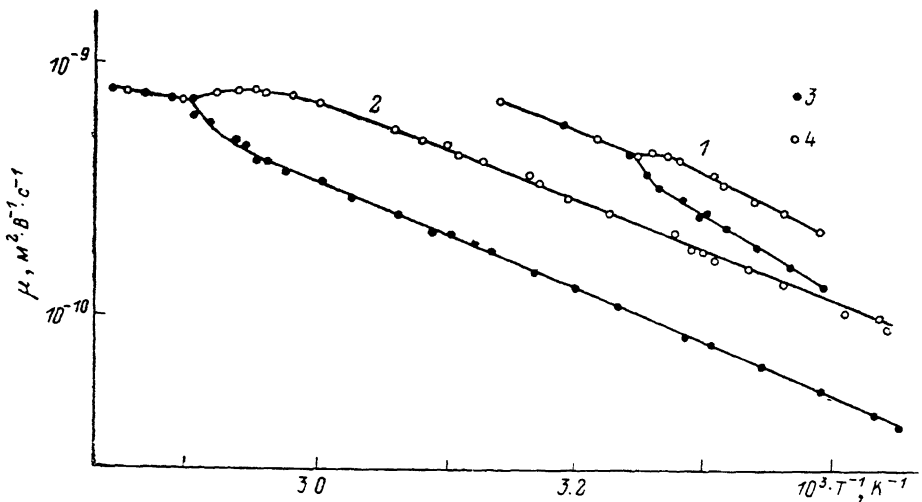


Рис. 1.

180 мкм;  $U$  — «тянущее» напряжение. Время  $\tau$  находилось по положению максимума на осциллограмме переходного тока. Тянущее напряжение  $U$  выбиралось с таким расчетом, чтобы избежать ЭГД-течений и изменения текстуры жидкого кристалла (контролировалось визуально и с по-

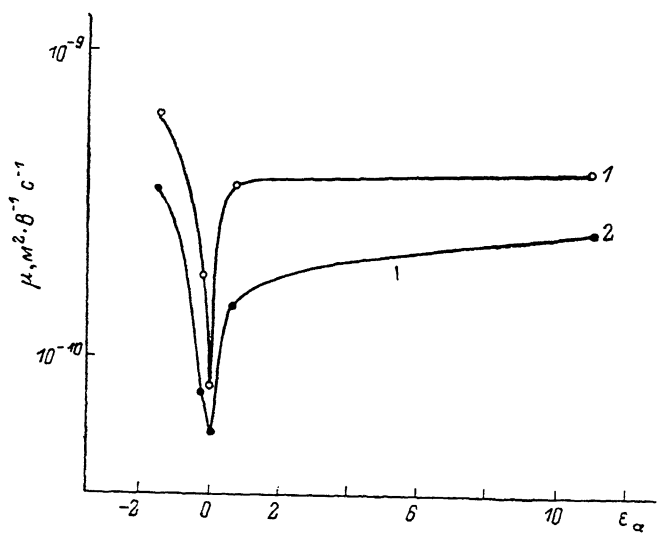


Рис. 2.

мощью ФЭУ). Это напряжение не выходило за пределы 1—5 В. Каждое измерение проводилось в стационарных температурных условиях. Предварительно осуществлялась ориентация образца магнитным полем с индукцией 0.7 Тл.

Для каждой смеси измерены компоненты тензора подвижности носителей заряда  $\mu_i$ , где  $i$  соответствует параллельной или перпендикулярной ориентации директора относительно электрического поля. На рис. 1 представлен пример температурной зависимости компонент тензора подвижности для 5ЦБ (1) и ЖК-440 (2),  $\mu_\perp$  (3),  $\mu_\parallel$  (4). Изучена зависимость под-

вижности носителей заряда в ЖК от анизотропии диэлектрической проницаемости  $\mu_i = f(\varepsilon_a)$ . Обнаружен минимум на графиках зависимости  $\mu$ , (1) и  $\mu_\perp$  (2) от  $\varepsilon_a$  в окрестностях  $\varepsilon_a = 0$  (рис. 2).

Исследовалась также анизотропия подвижности контролируемых ионов в исследуемых смесях ориентированных нематиков. Допуская, что ионы однозарядные, на основании зависимости  $(\mu_i \eta_i)^{-1} = 6\pi r_s / e$  ( $e$  — заряд иона,  $\eta$  — вязкость ЖК смеси), определили эффективный радиус носителей заряда (радиус «стоксовой сферы»)  $r_s$ . При 301 К и 0.25 % концентрации тетрабутиламмонийбромида в ЖК-440 из экспериментальных данных получили значения  $r_{s\parallel} = 3.3$ ,  $r_{s\perp} = 2.0$  нм. В то же время радиус отрицательно заряженного иона  $\text{Br}^-$ , по Полингу, равен 0.195 нм, а рассчитанный максимальный радиус положительно заряженного иона тетрабутиламмония с учетом длины и геометрии химических связей и размеров атомов [10] составляет 0.74 нм. Таким образом, экспериментальные значения эффективного радиуса носителя заряда  $r_s$  и геометрического радиуса контролируемых ионов не согласуются между собой. Значения  $r_s$ , определенные из эксперимента, близки по значению к теоретической величине  $r_s$ , если учесть размеры молекул жидкого кристалла, окружающих примесный ион одним или двумя слоями. Подвижность носителей заряда, оцененная по вязкому трению стоксовой сферы размеров положительного и отрицательного ионов, давала бы завышенные значения по сравнению с экспериментальными данными. Поэтому можно считать, что примесные ионы движутся вместе с деформационной шубой, которая утяжеляет инерционную характеристику иона, что снимает в конечном итоге расхождение с экспериментальными данными.

Как было показано в [7], указанное выше расхождение может быть устранено при учете увеличения массы иона за счет образования поляризационной деформационной шубы, созданной полем последнего и движущейся вместе с ним. Деформация ориентационного упорядочения, обусловленная полем иона, связана с наличием директора, и дополнительный вклад в свободную энергию приводит к значительному увеличению эффективной массы иона.

Расстояние эффективного действия иона определяется по формуле

$$r_s = (4\pi K r_0^4 / |\rho_a| Z^2 e^2)^{1/2}, \quad (1)$$

где  $K$  — упругие константы Франка,  $r_0$  — геометрический радиус иона,  $\rho_a = \rho_\perp - \rho_\parallel = (1/\varepsilon_\perp) - (1/\varepsilon_\parallel) = \varepsilon_a / \varepsilon_\parallel \varepsilon_\perp$ . Для описанных выше экспериментов это фактически и есть эффективный радиус носителя заряда. При данных для ЖК-440 ( $\varepsilon_a = -0.3$ ,  $K \sim 5 \cdot 10^{-12}$  Н,  $r_0 = 7.4 \cdot 10^{-10}$  м) получим  $r_s = 3 \cdot 10^{-9}$  м = 3 нм.

При рассмотрении медленного дрейфа ионов для оценки их подвижности в нематическом жидкокристаллическом кристалле можно воспользоваться формулой из работы [8]

$$\mu = e\eta\Omega^2 r_s^6 k T / (2\pi)^{1/3} K^4 r_s^{-2}, \quad (2)$$

где  $\Omega = v_t / r_t$  — частота быстрых осцилляций иона внутри ограниченной области размером  $r_t = r_0 (kT/mS^2)^{1/2}$ ;  $m$  — масса иона;  $S$  — скорость звука;  $v_t = (kT/m)^{1/2}$  — тепловая скорость иона. Медленный дрейф иона вместе с шубой, созданной полем последнего, как единого образования происходит на фоне быстрых осцилляций иона внутри упомянутой области, которая занимает малую часть всего объема деформационной шубы. Подставляя в формулу (2) экспериментальные данные ( $m \sim 10^{-25}$  кг,  $\eta \sim 10^{-3}$  кг/м·с,  $\Omega \sim 10^{13}$  с<sup>-1</sup>), получим для ЖК-440 значение подвижности  $\mu \sim 5 \cdot 10^{-10}$  м<sup>2</sup>/В·с.

Для эффективной массы иона при условии большой диссипации можно получить выражение

$$m_{eff} \approx m_0 \left\{ 1 + 2\pi \left( \frac{\rho_a}{\rho_\perp} \right)^2 \frac{K^2 S^2}{\eta^2 r_0^8 v_t^4} \right\}, \quad (3)$$

что для наших данных дает утяжеление приблизительно на порядок по сравнению с массой отдельного иона.

Интересным экспериментальным результатом является резкое уменьшение подвижности ионов при уменьшении значения анизотропии диэлектрической проницаемости (при  $|\epsilon_\alpha| \rightarrow 0$ ). Причиной такого поведения подвижности может быть утяжеление ионов за счет образования двойной деформационной шубы, поскольку такой жидкий кристалл представляет собой смесь нескольких мезогенов с различными положительными и отрицательными значениями анизотропии диэлектрической проницаемости. Жидкий кристалл с  $\epsilon_\alpha > 0$  будет выстраиваться «ежиком» вокруг заряженного иона, а с  $\epsilon_\alpha < 0$  концентрическими кругами; при этом в значениях эффективной массы упругие константы поперечного изгиба  $K_{11}$  должны заменяться упругими константами продольного изгиба  $K_{33}$ . С учетом этого эффективная масса будет иметь вид

$$m_{\text{эфф}} \approx m \left\{ 1 + 2\pi \left( \frac{\rho_\alpha^{(1)} C}{\rho_\perp^{(1)}} \right)^2 \frac{(K_{11}^{(1)})^2 S^2}{\eta^2 r_0^2 v_T^4} + 2\pi \left( \frac{\rho_\alpha^{(2)} (1 - C)}{\rho_\perp^{(2)}} \right)^2 \frac{(K_{33}^{(2)})^2 S^2}{\eta^2 r_0^2 v_T^4} \right\}, \quad (4)$$

где  $C$  — концентрация матрицы (ЖК-440) в смеси, что при наших данных увеличивает значение эффективной массы в 3—4 раза. Если еще учесть изменения значений упругих констант смеси жидких кристаллов по отношению к их значениям для чистых компонент, то в приближении молекулярного поля [11] можно получить

$$K_{\text{см}} = C^2 K^{(1)} + 2C(1 - C)(K^{(1)} K^{(2)})^{1/2} + (1 - C)^2 K^{(2)}. \quad (5)$$

Тогда получим утяжеление ионов в 5—6 раз. С увеличением инертных характеристик носителей заряда уменьшается их подвижность  $\mu \sim \Delta m_{\text{эфф}}^{-1}$ , что и объясняет в конечном итоге значительное ее уменьшение при  $|\epsilon_\alpha| \rightarrow 0$ .

Более интересное объяснение такого резкого минимума подвижности носителей заряда в окрестности  $\epsilon_\alpha \rightarrow 0$  связано с возможностью своего рода фазового перехода в диэлектрически изотропной системе при наличии диэлектрической анизотропии компонент. Введение иона в такую систему вызывает вблизи его переориентацию отдельных подсистем по-разному — по полю для  $\epsilon_\alpha > 0$  и перпендикулярно полю для  $\epsilon_\alpha < 0$ . Для смеси жидких кристаллов по «правилу аддитивности» [12] справедлива следующая формула для определения анизотропии диэлектрической проницаемости:

$$\epsilon_\alpha^{\text{ex}} = C \epsilon_\alpha^{(1)} + (1 - C) \epsilon_\alpha^{(2)}. \quad (6)$$

Концентрация отдельных компонент подобрана так, что анизотропия диэлектрической проницаемости смеси равна нулю, что приводит к взаимному ориентирующему действию отдельных компонент. Оценка радиуса эффективного действия иона по (1) при  $\epsilon_\alpha \rightarrow 0$  подтверждает сказанное выше. Но если учесть, что размеры деформационной области в этом случае будут определяться разупорядочивающим действием тепловых флюктуаций, то следует ограничиться другой характеристической длиной  $r_g^T$ , которая будет определять эффективный радиус носителя заряда для оценок подвижности по формуле (2). Если  $r_g^T = Ze^2/\epsilon_0 kT$  [7], где  $\epsilon_0$  — изотропное значение диэлектрической проницаемости, то мы получим уменьшение подвижности на порядок, что и подтверждается экспериментом.

Таким образом, совокупность экспериментальных данных по подвижности носителей заряда в нематических жидких кристаллах находится в хорошем согласии с теоретическими оценками, основанными на рассмотрении утяжеления иона за счет деформационной поляризационной шубы.

#### Список литературы

- [1] Herio Roland // J. Chem. Phys. 1981. V. 74. N 5. P. 3016—3024.
- [2] Pawlowska Z. // Acta Phys. Pol. 1984. V. A65. N 6. P. 483—487.
- [3] Грищенко Н. И., Курик М. В., Рогоза А. В. // УФЖ. 1985. Т. 30. № 10. С. 1497—1499.
- [4] Szwajzak E., Szymanski A. // Mol. Cryst. Liq. Cryst. 1986. V. 139. P. 253—261.

- [5] Гриценко Н. И., Рогоза А. В., Грубинко В. В. // УФЖ. 1987. Т. 32. № 6. С. 880—885.
- [6] Де Жен П. Физика жидкых кристаллов. М.: Мир, 1977. 400 с.
- [7] Белоцкий Е. Д., Лев Б. И., Томчук П. М. // Письма в ЖЭТФ. 1980. Т. 31. № 10. С. 573—576.
- [8] Белоцкий Е. Д., Лев Б. И., Томчук П. М. // УФЖ. 1981. Т. 26. № 4. С. 625—630.
- [9] Белоцкий Е. Д., Лев Б. И., Томчук П. М. // УФЖ. 1981. Т. 26. № 1. С. 158—160.
- [10] Потапов В. М. Стереохимия. М.: Химия, 1976. 695 с.
- [11] Лев Б. И., Томчук П. М. // ТМФ. 1977. Т. 32. № 1. С. 101—113.
- [12] Блинов Л. М. Электро- и магнитооптика жидких кристаллов. М.: Наука, 1978. 384 с.

Институт физики АН УССР  
Киев

Поступило в Редакцию  
11 января 1989 г.

---